

冷藏对新鲜冰冻血浆诱导内皮细胞迁移的影响 及其分子机制研究 *

张春芳^{1)***} 谭 潭^{1, 3)**} 李建国¹⁾ 马虹英¹⁾ 陈主初¹⁾ 段朝军^{1, 2)***}

(¹) 中南大学湘雅医院卫生部肿瘤蛋白质组学重点实验室, 长沙 410008; (²) 中南大学湘雅医院医学实验研究中心, 长沙 410008;
 3) 郴州市第一人民医院检验科, 郴州 423000)

摘要 探讨冷藏是否导致新鲜冰冻血浆(fresh frozen plasma, FFP)中的转化生长因子-β(transform growth factor-β, TGF-β)发生变化并降低其对内皮细胞迁移的诱导能力及其分子机制。为证实冷藏可能导致 FFP 中 TGF-β 的水平升高进而影响其功能, 首先采用 ELISA 法分析当天解冻 FFP(FFP Day 0)和解冻后 4℃ 冷藏 1~5 天 FFP 中 TGF-β 含量, 迁移实验及 Western blot 分析比较 FFP(Day 0)和 FFP (Day 5)处理人肺微血管内皮细胞(human pulmonary microvascular endothelial cells, HPMECs)后的细胞迁移率及 TGF-β 信号通路 Smad2 和 Smad3 磷酸化, 进一步采用 ALK5-siRNA 和 ALK5 特异性抑制剂阻断细胞 TGF-β I 型受体 ALK5 的活性, 分析下调 TGF-β/Smad2/3 信号传导后的内皮细胞迁移率。结果显示: 随着冷藏时间的延长, FFP 中 TGF-β1 水平逐渐增加, 其增加率为 244.31 ng/(L·d)($P < 0.05$); 与 FFP(Day 0)相比, FFP (Day 5)诱导内皮细胞 HPMECs 的 TGF-β 信号通路 Smad2/3 磷酸化显著增加($P < 0.05$); 不管是 FFP(Day 0)还是 FFP (Day 5)体外均能诱导内皮细胞迁移, 与 FFP (Day 0)相比, FFP(Day 5)诱导细胞迁移能力显著降低($P < 0.05$); 阻断 TGF-β I 型受体 ALK5 的活性、下调 Smad 3 信号传导可恢复 FFP(Day 5)诱导细胞迁移能力。上述结果表明, FFP 能显著诱导内皮细胞迁移, 4℃ 冷藏增加 FFP 中 TGF-β1 水平并增加内皮细胞 TGF-β1 信号传导, 进而降低 FFP 诱导内皮细胞迁移。提示, FFP 复苏疗效的提高可能与增加内皮细胞迁移有关, 冷藏导致内皮细胞迁移降低进而降低 FFP 复苏疗效。

关键词 冷藏, 新鲜冰冻血浆, 内皮细胞, 迁移, TGF-β/ALK5/Smad2/3

学科分类号 R459.9

DOI: 10.3724/SP.J.1206.2010.00596

出血性休克(hemorrhagic shock, HS) 是创伤性死亡的主要原因^[1]。研究显示, 采用新鲜冰冻血浆(fresh frozen plasma, FFP)复苏能大大地降低 HS 病人的死亡率, 提高临床疗效, 因此 FFP 正在取代传统的晶体复苏液而成为首选^[2-6]。已有的研究显示, FFP 对血管内皮细胞具有保护作用^[7-8]。内皮细胞是一层连续覆盖整个血管腔表面的扁平鳞状细胞, 参与了血管舒缩、炎症发生以及血管形成等生理或病理过程调节^[9-10]。HS 或严重损伤的病人往往存在内皮细胞等脉管系统严重受损^[11]。内皮细胞迁移是血管内皮细胞修复损伤的关键环节, 对内皮屏障修复和功能完整具有重要作用^[12]。FFP 复苏疗效的提高是否与其诱导内皮细胞迁移相关, 目前还未见报道。

为了满足对 FFP 日益增长的需求及快速便捷获得 FFP, 各损伤救治中心或血库通常将 FFP 解冻

并 4℃ 左右冷藏, 最长可达 5 天^[13]。FFP 是由大量的生物活性分子组成, 像其他血制品一样, 这些生物活性分子由于其客观保存条件不同, 冷藏往往因蛋白质降解、聚集等原因致使部分生物活性分子的结构和活性发生改变^[14]。有报道, 4℃ 冷藏往往会导致血液制品中细胞因子、炎症脂类因子及生长因子等水平升高并影响其临床疗效^[15]。因此, 采用标准 4℃ 冷藏是否削弱 FFP 的生物学功能还不是很清楚。

* 国家重点基础研究发展计划(973)(2001CB510207)和国家自然科学基金(30670990, 30871189)资助项目。

** 共同第一作者。

*** 通讯联系人。

Tel: 0731-84327239, Fax: 0731-84327332, E-mail: duancjxy@126.com

收稿日期: 2010-11-18, 接受日期: 2011-04-06

转化生长因子- β (transform growth factor- β , TGF- β)是一种多功能生长因子, 在正常血管生长发育中起着重要作用^[16]. TGF- β 家族包含有 TGF- β 1、TGF- β 2 和 TGF- β 3. 三种成员均可与细胞膜上 TGF- β 丝氨酸 / 苏氨酸激酶 II 型受体结合并激活其 I 型受体, 随后进一步激活细胞内效应分子 Smad 蛋白家族, 活化的 Smad 蛋白家族转移到细胞核内调节下游靶基因的转录^[17]. 体外 TGF- β 通常抑制内皮细胞的迁移^[18]. 早期有报道 4℃ 冷藏可导致血小板释放 TGF- β 至血浆中^[19], 然而 FFP 在冷藏过程中 TGF- β 含量是否会发生变化并降低其对内皮细胞有益作用仍然不清楚. 因此本研究以内皮细胞迁移率作为功能研究点, 探讨冷藏后 FFP 诱导内皮细胞迁移是否降低及是否因冷藏导致细胞因子 TGF- β 浓度增加所致.

1 材料和方法

1.1 材料

人肺微血管内皮细胞 HPMECs、内皮细胞培养液 MV2、Trypsin/EDTA 消化液(0.025%/0.01%)、中和液 (0.05%, 德国 PromoCell 公司); Lipofectamine™2000 转染试剂盒(Invitrogen 公司); 抗磷酸化 Smad2 和 Smad3 抗体(美国 Cell Signaling 公司); 抗 TGF- β I 型受体(ALK5)抗体(美国 Santa Cruz 公司); β -actin 抗体(美国 Sigma-Aldrich 公司); TGF- β I 型受体激酶特异抑制剂 SB431542 (SB, Tocris Bioscience 公司); TGF- β 1、TGF- β 2 和 TGF- β 3 ELISA 试剂盒(美国 R&D 公司); 新鲜冰冻血浆(FFP, 墨西哥湾海岸血液中心); 乳酸钠林格液(LR, 美国 Pharmacopeia 公司); 人 ALK5 siRNA 及阴性对照 siRNA(产品号 4611, 美国 Ambion 公司); 24 孔 Transwell 培养板(美国 Corning 公司).

1.2 方法

1.2.1 内皮细胞培养. 人肺微血管内皮细胞 HPMECs, 置于 10% FBS 和适量生长因子的 MV2 培养基 37℃ 5% CO₂ 中培养, 按照 PromoCell 公司提供的方法消化细胞及传代培养.

1.2.2 siRNA 制备及转染. 参考 Castañares 等^[18]报道序列合成人 ALK5 siRNA, 正义链: 5' CAUAU-UGCUGCAACCAGGAtt 3', 反义链: 5' UCCUGG-UUGCAGCAAUAUGtt 3'), 阴性对照 siRNA 由 Ambion (reference 4611)公司提供. siRNA 成品为已退火的冻干粉, 使用前用稀释缓冲液将其溶解成 20 μ mol/L 的工作母液. 所有 siRNA 均经过变性和

非变性聚丙酰胺凝胶电泳纯化, 去除未配对单链. Lipofectamine™ 2000 脂质体介导 ALK5 siRNA 及阴性对照 siRNA 转染细胞. 在 5 nmol/L 的 siRNA 中加入 250 μ l 无 RNA 酶水, 得到浓度为 20 μ mol/L 的 siRNA 母液. 转染前 24 h 将细胞接种至 6 孔板. siRNA 用无血清培养基稀释, 待加入细胞后, 终浓度约 80 nmol/L.

1.2.3 RT-PCR 检测转染后 ALK5 mRNA 的表达. 转染不同浓度的 siRNA 48 h 后, 用 TRIzol 试剂提取总 RNA, 逆转录成 cDNA, 再进行 PCR 循环扩增. ALK5 的引物序列: 上游 5' TGGACTCAGCT-CTGGTTGGTGTCA 3', 下游 5' GCTCGCCGTGG-ACAGAGCAA 3', 扩增片段长度为 110 bp. 内参采用 β -actin, 引物序列: 上游 5' AAATCGT-GCTGACATCAAA 3', 下游 5' AAGGAAGGCT-GGAAAAGAGC 3', 扩增片段长度为 195 bp. 取 RT-PCR 产物在 1.2% 琼脂糖凝胶中电泳, ALK5 加样量均为 10 μ l, 内参的加样量为 3 μ l, 溴化乙锭染色. 电泳条带采用 UVP 型凝胶图像分析系统做积分吸光度测定和分析.

1.2.4 FFP 冷藏保存及细胞处理. 枸橼酸抗凝后 FFP 置-80℃ 保存, 使用时 37℃ 水浴融化, 若当天使用的 FFP 称为 FFP (Day 0), 解冻融化后 4℃ 放置 5 天 FFP 称为 FFP (Day 5). 内皮细胞接种原代培养的内皮细胞 HPMECs, 细胞于 35 mm 培养皿 (1.6×10^6 培养皿) 或 6 孔培养板(2.5×10^5 /培养板) 中, 过夜后加入 0.1% FBS 培养基继续培养 4 h, 随后用不同浓度的 FFP 处理 30 min, 收集细胞提取总蛋白, Western blot 分析蛋白质磷酸化水平, 或 16 h 分析细胞迁移率. 无血清培养基为空白对照.

1.2.5 细胞迁移实验.

Transwell 实验: Transwell insert 8 μ m 孔径过滤膜将 24 孔培养板每个孔分隔为上下两室. 培养前, 先用 0.1% 明胶包被培养板过滤膜. 上室接种细胞浓度为 3×10^4 个 / 孔, 下室中加入含不同浓度 FFP(Day 0)、FFP(Day 5) 及 10% LR 的培养基或加入 TGF- β I 受体抑制剂 SB431542 预处理 30 min 后再加入 FFP, 16 h 后, 细胞经 transwell 底部滤膜的孔隙迁移至膜的另一面, 用棉签轻轻擦拭掉膜上表面的未迁移细胞, 70% 乙醇固定过滤膜 10 min, 细胞核染料碘化丙啶(30 mg/L)染色 30 min, 倒置荧光显微镜观察迁移细胞, 并通过荧光显微图像采集和分析系统随机拍摄和记录 5 个视野, 计算迁移细

胞, 然后依据迁移的细胞数评估 FFP 对内皮细胞迁移的诱导能力。

细胞划痕实验: 浓度为 2.5×10^5 个 / 孔接种于 6 孔培养板, 待细胞长满无缝隙后, 用 200 μl 吸管尖端划“十”或“井”痕线, PBS 漂洗, 去掉漂浮的细胞, 然后加入含 10% FFPs 或 LR 的培养基继续培养 24 h. 倒置显微镜观察细胞划痕生长, 并通过显微图像采集和分析系统随机拍摄和记录 5 个视野. 用 Kodak 1D 软件的图像分析系统(version 3.6)测量划痕区域面积. 细胞生长率即愈合率(the percentage of recovery) $R\% = [1 - (\text{划痕区域 } T_t / \text{划痕区域 } T_0)] \times 100\%$, T_t 代表实验后愈合时间的面积和 T_0 代表划痕后立即拍摄的面积^[18]. 依据愈合率确定 FFP 对内皮细胞迁移力影响。

1.2.6 Western blot 检测蛋白质磷酸化水平. 将每个 35 mm 平皿浓度为 1.6×10^6 个内皮细胞接种于培养皿中, 不同条件处理后, 加入预冷 PBS 漂洗的内皮细胞, 随后加入细胞裂解液(150 mmol/L NaCl, 50 mmol/L Tris-HCl pH8.0, 0.1% NP-40, 1 mmol/L PMSF, 25 mg/L Aprotinin, 25 mg/L Leupeptin)冰上裂解 30 min, 4°C 12 000 r/min 离心 30 min, 吸取上清, BAC 法进行蛋白质定量^[20]. 取 30 μg 总蛋白 4%~12% 聚丙烯酰胺梯度凝胶电泳分离, 电转至 PVDF 上. 3% BSA 室温封闭 2 h, 加入第一抗体 4°C 孵育过夜, 然后 TBS-T 缓冲液洗膜 3 次, 每次 10 min, 加入 HRP 标记的第二抗体室温孵育 1 h, TBS-T 缓冲液洗膜 3 次, 每次 10 min. ECL 试剂发光、显影和定影. 以 β -actin 为内参照, 实验重

复 3 次. Kodak 1D 软件的图像分析系统(version 3.6)测量蛋白质显带颜色深浅和面积并计算分子表达丰度。

1.2.7 TGF- β 信号的阻断. 二甲基亚砜配制 TGF- β I 型受体激酶特异抑制剂 SB431542, 参考文献[18]对内皮细胞 HPMECs 预处理 45 min, 阻断 TGF- β 信号通路, 随后加入 FFP 处理 30 min 进一步做 Western blot 分析, 或 16 h 做细胞迁移率分析。

1.2.8 FFP 中 TGF- β 浓度测定. 采用商业化的酶联免疫吸附(ELISA)试剂盒测量分析 9 名不同献血者 FFP 的 TGF- β 1、TGF- β 2 及 TGF- β 3 蛋白质水平, 方法参考 ELISA 试剂盒说明书. 所有样品重复 3 次。

1.2.9 统计分析. 所有实验重复 3 次, 数据采用 $\bar{x} \pm s$ 表示, 以 SPSS 11.0 统计软件 *t* 检验或析因设计方差分析, $P < 0.05$ 为有统计学意义。

2 结 果

2.1 冷藏将增加 FFP 中 TGF- β 1 浓度

为了探讨冷藏是否导致 FFP 中 TGF- β 水平升高, 采用 ELISA 法检测了当天解冻及解冻后 4°C 放置 1~5 天 FFP 中 TGF- β 水平, 结果为当天 FFP 中含有一定量 TGF- β 1(5 366.81 ng/L), 但随着冷藏时间的增加 FFP 中 TGF- β 1 水平逐渐增加, 其增加率为 244.31 ng/(L·d)(图 1a)($P < 0.05$)相反, FFP 中的 TGF- β 2 及 TGF- β 3 水平在冷藏过程中没有发生显著性改变($P > 0.05$, 图 1b 和图 1c)。

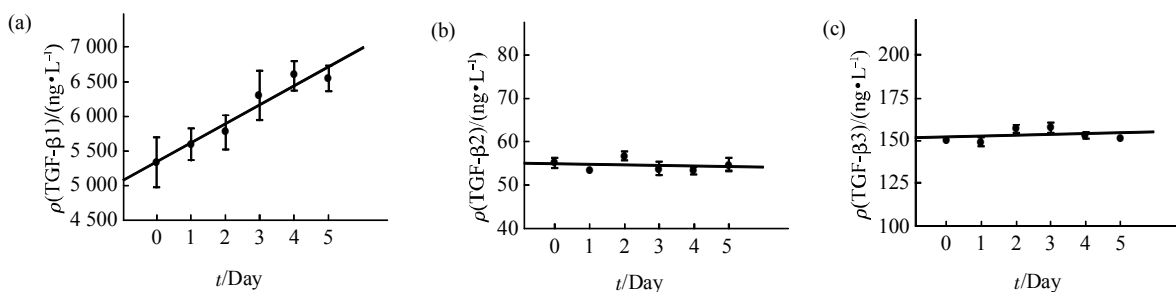


Fig. 1 TGF- β 1 protein level in FFP increases during storage

TGF- β 1 (a), TGF- β 2 (b) and TGF- β 3(c) protein levels in FFP stored at 4°C up to 5 days were measured by Quantikine ELISA kits. The data were presented as $\bar{x} \pm s$ ($n=3$ pooled FFPs). TGF- β 1 increases at a rate of 244.31 ng/(L·d) ($P=0.002$). There are no statistical evidence that TGF- β 2 ($P=0.7$) and TGF- β 3($P = 0.65$) changes with day.

2.2 冷藏增强 FFP 诱导 TGF- β /Smad2/3 信号通路传导

为了探讨 FFP 是否激活 TGF- β /Smad2/3 信号

转导, 不同剂量的 FFP 处理内皮细胞, 抗磷酸化抗体免疫印迹分析细胞 Smad2 和 Smad3 磷酸化水平, 结果发现, 与对照组单独培养基相比, FFP 显

著增强细胞 Smad2 和 Smad3 磷酸化(图 2a)且呈剂量递增趋势, 然而, 相对于 FFP(Day 0), FFP(Day 5)诱导细胞 Smad2 和 Smad3 磷酸化水平更强(图 2a, b) ($P < 0.05$)。传统复苏液 LR 却未能诱导细胞 Smad2

和 Smad3 磷酸化, 类似单独培养基。表明冷藏将导致 FFP 诱导细胞 Smad2 和 Smad3 磷酸化增强 TGF- β 信号传导。

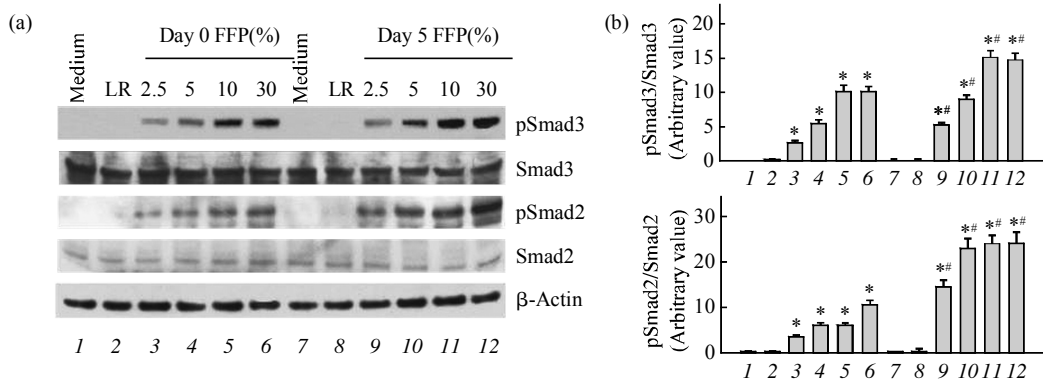


Fig. 2 Activation of TGF- β /Smad2/3 signaling by FFPs is dose-dependent and is enhanced during FFP storage

The ECs were serum-starved with medium containing 0.1% serum for 4 h and then treated with FFPs at the concentration of 2.5%, 5%, 10%, and 30%, or 30% LR for 30 min. Medium alone was a baseline control. Whole cell lysates were prepared and subjected to Western blotting. (a) Representative Western blots. (b) Representative Western blots from 3 independent experiments were shown and relative quantifications were expressed as $\bar{x} \pm s$ of 3 independent experiments. * $P < 0.05$ compared to medium. # $P < 0.05$ compared to the matching concentration of Day 0 FFP.

2.3 冷藏降低 FFP 诱导内皮细胞迁移

内皮细胞迁移对创伤和 / 或出血性休克的血管修复起重要作用。为此, 首先采用标准的滤孔迁移实验检测 FFP 对内皮细胞迁移的影响。与对照组

单独培养基或 LR 组相比, FFP(Day 0)和 FFP(Day 5)均能显著诱导内皮细胞迁移且诱导内皮细胞迁移呈剂量依赖性增加(图 3a, b), 与 FFP(Day 0)相比, FFP(Day 5)诱导内皮细胞迁移能力明显降

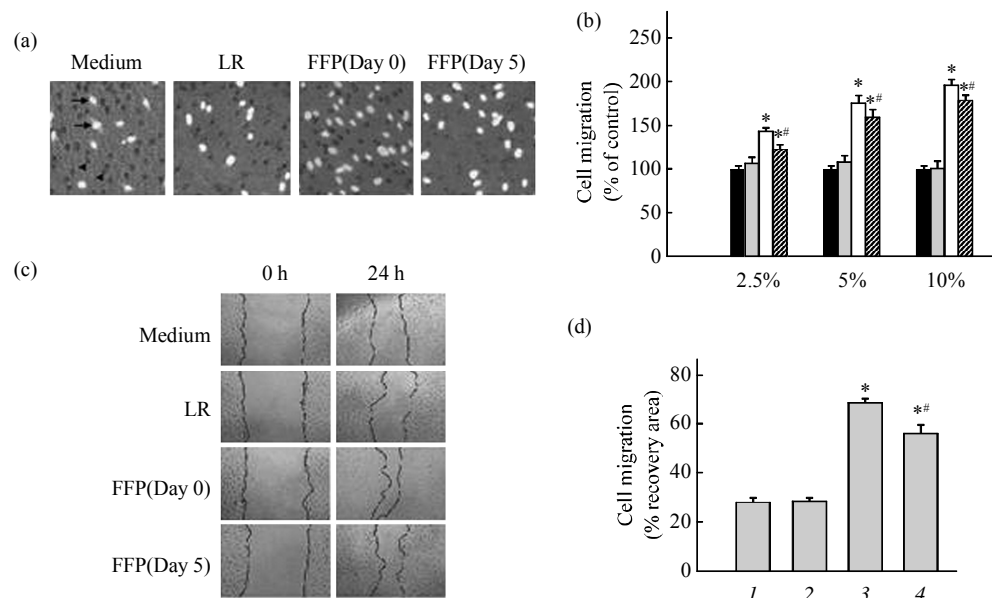


Fig. 3 FFP (Day 0) promotes EC migration which diminishes during storage

The ECs were seeded in transwell inserts (a) or 12-well plates (c) and cultured with various concentrations of FFPs or LR for 16 h. Cell culture medium was a baseline control. EC migration was measured by tranwell assay. (a) Representative pictures showing transwell migration of cells treated with or without 10% FFP or LR. "→" points to the migrating white color cells. "◀" points to the dark pores of the filter. (b) Number of migrating cells was expressed as $\bar{x} \pm s$ ($n=3$). * $P < 0.05$ compared to LR. # $P < 0.05$ compared between Day 0 and Day 5 FFP. ■: Medium; □: LR; ▨: FFP(Day 0); ▨: FFP(Day 5). (c) Representative pictures of scratching assay showing migration of the cells treated with or without 10% FFP or LR. (d) Quantification of cell migration was expressed as $\bar{x} \pm s$ ($n=3$). * $P < 0.05$ compared to LR. # $P < 0.05$ compared between Day 0 and Day 5 FFP. 1: Medium; 2: LR; 3: FFP(Day 0); 4: FFP(Day 5).

低($P < 0.05$)。单独培养基和 LR 组之间没有显著差异。单层细胞划痕实验结果显示, 与对照组或 LR 组相比, FFP(Day 0)和 FFP(Day 5)均显著诱导单层内皮细胞迁移, 与 FFP(Day 0)相比, FFP(Day 5)诱导细胞迁移能力明显降低(图 3c, d, $P < 0.05$)。表明 FFP 能诱导内皮细胞迁移, 其诱导迁移能力经 5 天 4°C 冷藏后将显著降低。

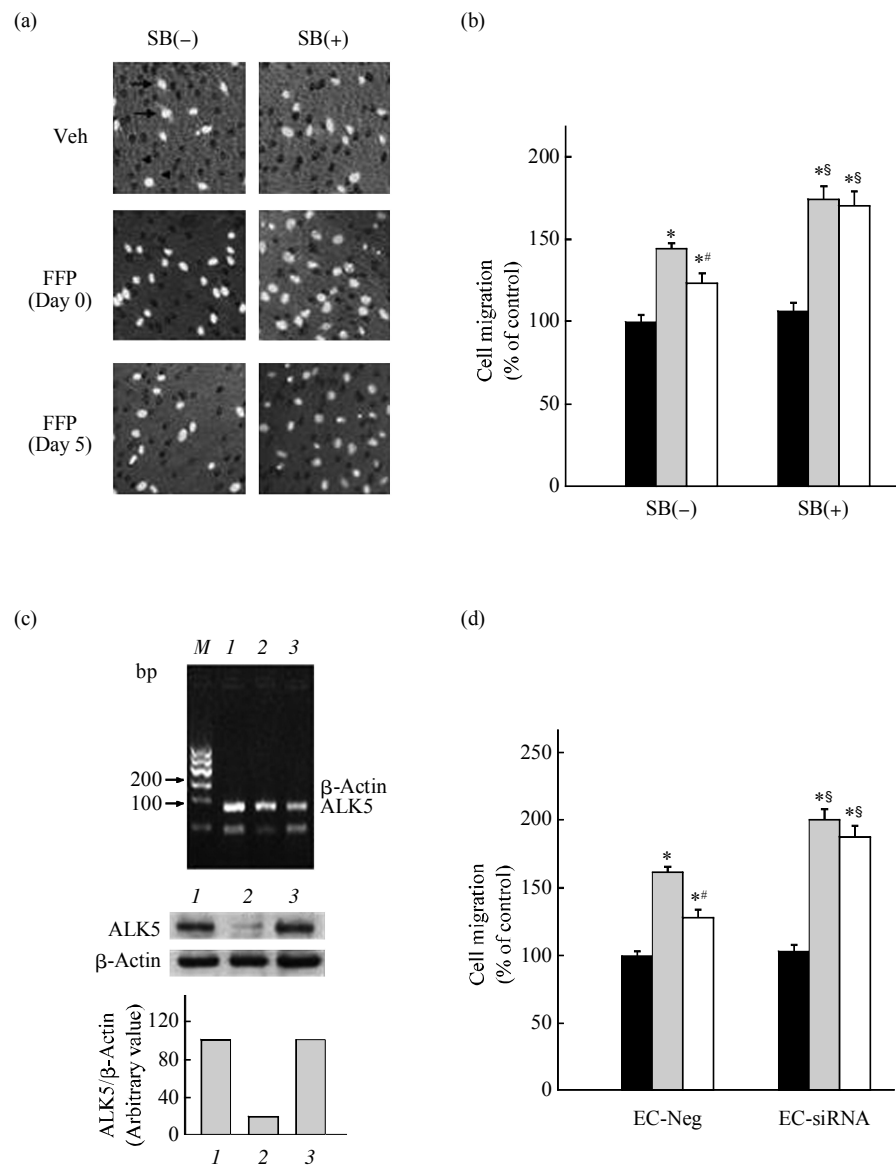


Fig. 4 Blocking ALK5 restores EC migration capacity of Day 5 FFP comparable to that of Day 0 FFP

Transwell assay was used to measured EC cells migration and the cells were seeded in transwell inserts. (a) Treated with SB431542 (SB, 3 $\mu\text{mol/L}$) for 45 min followed by treatment with 2.5% of FFPs. Equal volume of DMSO was the vehicle control. Representative pictures showing migrating cells in transwell. "→" points to the migrating "white color" cells. "◀" points to the dark pores of the filter. (b) Number of migrating cells was expressed as $\bar{x} \pm s$ ($n=3$). * $P < 0.05$ compared to vehicle (DMSO). ** $P < 0.05$ compared between Day 0 FFP and Day 5 FFP. *** $P < 0.05$ compared between vehicle and SB. ■: Medium; □: FFP(Day 0); ▨: FFP(Day 5). (c) The total RNA of the cell line EC-Negative or EC-ALK5 siRNA was isolated and performed to RT-PCR for ALK5 mRNA level assay and Whole cell lysates were prepared and subjected to Western blotting. The expression of ALK5 mRNA (Top) and protein (Middle & Bottom). M: Marker; 1: EC; 2: EC-siRNA; 3: EC-Neg. (d) The EC-Negative or EC-siRNA cells were treated with 2.5% of FFPs. Number of migrating cells was expressed as $\bar{x} \pm s$ ($n=3$). * $P < 0.05$ compared to Medium. ** $P < 0.05$ compared between Day 0 FFP and Day 5 FFP. *** $P < 0.05$ compared between EC-Negative and EC-siRNA. ■: Medium; □: FFP(Day 0); ▨: FFP(Day 5).

2.4 抑制 TGF-β/Smad3 信号转导增加 FFP 诱导内皮细胞迁移

为了探讨 FFP(Day 5) TGF-β1 水平的升高导致其诱导内皮细胞迁移力降低, 首先采用 TGF-β 受体 I ALK5 特异的抑制剂 SB431542 阻断 TGF-β/ALK5 信号通路。如图 4a 和 4b 所示, 与溶剂对照组相比, SB431542 预处理显著提高 FFP(Day 0)和

FFP(Day5)诱导内皮细胞迁移, 与单独培养基加入溶剂对照组相比, SB431542 预处理后, 提高 FFP(Day 0)诱导细胞的迁移率达 30%, 同时恢复 FFP(Day5)诱导细胞迁移率至 FFP(Day 0)水平, 但单独培养基组与单独培养基加溶剂组间无显著性差异。进一步采用 ALK5 siRNA 下调内皮细胞中 TGF- β I 型受体(ALK5)的表达(图 4c), 结果显示, 与阴性对照 siRNA 转染内皮细胞(EC-Negative, EC-Neg)相比, FFP 诱导 EC-ALK5 siRNA 细胞迁移显著提高(图 4d, $P < 0.05$)。

为了确定 SB431542 预处理或转染 ALK5 siRNA 是否阻断 TGF- β 信号传导, 我们检测细胞 Smad3 磷酸化水平, 如图 5 所示, SB431542 预处理后, FFP 诱导内皮细胞的 Smad3 磷酸化呈剂量依赖性下调, 而单独 SB431542 对细胞 Smad3 磷酸化无影响, 与溶剂对照组相比无显著差异($P < 0.05$), 同理检测转染 ALK5 siRNA 内皮细胞(EC-siRNA) Smad3 磷酸化水平, 结果显示, 与阴性对照 siRNA 转染内皮细胞(EC-Negative, EC-Neg)相比, Smad3 磷酸化显著下调, 表明 FFP 中 TGF- β 1 具有抑制内皮细胞的迁移作用, 内皮细胞迁移力的降低可能由 ALK5/Smad3 信号介导, FFP(Day5)诱导内皮细胞迁移力的降低与冷藏导致 TGF- β 1 水平增加有关。

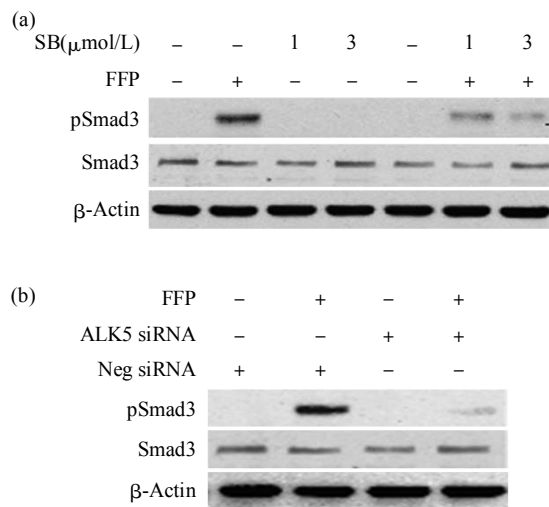


Fig. 5 Inhibition of ALK5 attenuates the activation of Smad3 by FFP

The ECs were serum-starved with medium containing 0.1% serum for 4 h. (a) Treated with various concentrations of ALK5 inhibitor SB431542 (1 $\mu\text{mol/L}$ or 3 $\mu\text{mol/L}$) for 45 min followed by treatment with 10% FFP for 30 min. (b) The cell line EC-Neg or EC-ALK5 siRNA treatment with 10% FFP for 30 min. The whole cell lysates were prepared and subjected to Western blotting.

3 讨 论

FFP 正在取代传统的晶体液而成为早期和需要大量输液体克病人复苏液。为了满足这种日益增长的需求, 血库中解冻的血浆常常被运往各创伤救治中心。虽然与 FFP 相关的风险都有清晰的记录(包括传染性、免疫性等风险), 然而 FFP 作用机制以及冷藏是否降低 FFP 疗效仍然不清楚。本研究结果显示, FFP 中含有大量的细胞因子 TGF- β , 随着冷藏时间的延长 TGF- β 含量逐渐增加, 与之一致的是, 与 FFP(Day 0)相比, 冷藏 5 天血浆即 FFP(Day 5)诱导 Smad2 和 Smad3 磷酸化显著增强, 尽管 FFP(Day 0)和 FFP(Day 5)均能诱导内皮细胞迁移, 但冷藏后 FFP 诱导细胞迁移能力显著降低, 阻断 TGF- β 1/ALK5/ Smad3 信号转导将增强 FFP 诱导内皮细胞迁移和恢复 FFP(Day 5)诱导内皮细胞迁移力。因此, 表明标准冷藏将增加 FFP 中的细胞因子 TGF- β 1 含量并导致其诱导内皮细胞迁移能力降低。

为了研究冷藏导致 FFP 诱导内皮细胞迁移力降低, 本研究重点关注与内皮细胞迁移调节相关的关键因子 TGF- β , 结果表明冷藏将导致细胞因子 TGF- β 1 水平增加并增强胞内 Smad2 及 Smad3 的磷酸化, 进而降低 FFP 诱导内皮细胞迁移。研究报道, 血小板在冷藏过程中有 10%~15% 被活化并导致其 α 颗粒(α -granule)释放大量转化生长因子^[19], 因此我们推测血库标准程序制备 FFP 解冻后经过 1~5 天 4°C 冷藏, 其 TGF- β 1 浓度显著增加, 增加的 TGF- β 1 可能来源于活化的 α 颗粒(α -granule), 但是否还可能来源于 FFP 中其他残余的血细胞, 有待进一步研究。

在内皮细胞中 TGF- β 活化 ALK5/Smad2/3 信号通路导致内皮细胞迁移受抑制^[16, 18]。本研究发现, FFP(Day 0)能诱导 Smad2/3 磷酸化活化, 但与 FFP(Day 0)相比, FFP(Day 5)诱导 Smad2/3 磷酸化水平显著增加, ALK5 特异性抑制剂 SB431542 或转染 ALK5 siRNA 下调 ALK5 活性却能显著性抑制 ALK5/Smad3 信号传导, 与之一致的是, FFP(Day 0)能够功能性诱导内皮细胞迁移, FFP(Day 5)诱导内皮细胞迁移却显著降低, 阻断 ALK5/Smad2/3 信号传导不仅能增强 FFP(Day 0)诱导内皮细胞迁移而且还能恢复 FFP(Day 5)诱导细胞迁移水平。因此, 提示 FFP 中含有大量的具有抑制内皮细胞迁移的 TGF- β 1, 冷藏可导致 TGF- β 1 大量释放并增强其

信号转导，降低 FFP 诱导内皮细胞迁移。

综上所述，本研究证实 FFP 能够促进内皮细胞迁移，冷藏将降低其功效，其部分缘由可能与冷藏增加 FFP 中 TGF- β 1 含量有关。以往研究显示 FFP 具有修补和恢复血管正常结构和功能，因此冷藏导致 FFP 中 TGF- β 1 含量增加并降低内皮细胞迁移可能是冷藏后 FFP 疗效降低的一种新机制。

参 考 文 献

- [1] Angele M K, Schneider C P, Chaudry I H. Bench-to-bedside review: latest results in hemorrhagic shock. *Crit Care*, 2008, **12**(4): 218
- [2] Holcomb J B, Wade C E, Michalek J E, et al. Increased plasma and platelet to red blood cell ratios improves outcome in 466 massively transfused civilian trauma patients. *Ann Surg*, 2008, **248** (3): 447–458
- [3] Gunter O L Jr, Au B K, Lsball J M, et al. Optimizing outcomes in damage control resuscitation: identifying blood product ratios associated with improved survival. *J Trauma*, 2008, **65**(3): 527–534
- [4] Gonzalez E A, Moore F A, Holcomb J G, et al. Fresh frozen plasma should be given earlier to patients requiring massive transfusion. *J Trauma*, 2007, **62**(1): 112–119
- [5] Kashuk J L, Moore E E, Johnson J L, et al. Postinjury life threatening coagulopathy: is 1:1 fresh frozen plasma:packed red blood cells the answer?. *J Trauma*, 2008, **65** (2): 261–270; discussion 270–271
- [6] Spinella P C, Perkins J G, Grathwohl K W, et al. Effect of plasma and red blood cell transfusions on survival in patients with combat related traumatic injuries. *J Trauma*, 2008, **64**(2 Suppl): S69–S77; discussion S77–S78
- [7] Pati S, Matijeric N, Doursout M, et al. Protective effects of fresh frozen plasma on vascular endothelial permeability, coagulation, and resuscitation after hemorrhagic shock are time dependent and diminish between days 0 and 5 after thaw. *J Trauma*, 2010, **69**(Suppl 1): S55–S63
- [8] Letourneau P A, Pati S, Gerber M H, et al. Fresh frozen plasma increases adhesion molecule expression on human pulmonary endothelial cells. *J Surg Res*, 2010, **163**(2): 317–322
- [9] Aird W C. Proximate and evolutionary causation of endothelial heterogeneity. *Semin Thromb Hemost*, 2010, **36**(3): 276–285
- [10] Aird W C, Kwaan H C. Under-recognized significance of endothelial heterogeneity: hemostasis, thrombosis, and beyond. *Semin Thromb Hemost*, 2010, **36**(3): 225–226
- [11] Moochhala S, Wu J, Lu J. Hemorrhagic shock: an overview of animal models. *Front Biosci*, 2009, **14**: 4631–4639
- [12] Aird W C. Phenotypic heterogeneity of the endothelium: I . Structure, function, and mechanisms. *Circ Res*, 2007, **100**(2): 158–173
- [13] Murthi S B, Stansbury L G, Hess J R. Blood and coagulation support in trauma. *Blood Rev*, 2009, **23**(4): 149–155
- [14] Anderson N L, Polanski M, Pieper R, et al. The human plasma proteome: a nonredundant list developed by combination of four separate sources. *Mol Cell Proteomics*, 2004, **3**(4): 311–326
- [15] Carpenter J M, Manning M C, Randolph T W. Long Term Storage of Proteins. New York: Wiley, 2002: 98–118
- [16] Goumans M J, Valdimarsdottir G, Itob S, et al. Balancing the activation state of the endothelium via two distinct TGF-beta type I receptors. *EMBO J*, 2002, **21**(7): 1743–1753
- [17] Deryck R, Zhang Y E. Smad-dependent and Smad-independent pathways in TGF-beta family signalling. *Nature*, 2003, **425**(6958): 577–584
- [18] Castanares C, Redondo-Horcajo M, Magan-Marc N, et al. Signaling by ALK5 mediates TGF-beta-induced ET-1 expression in endothelial cells: a role for migration and proliferation. *J Cell Sci*, 2007, **120**(Pt 7): 1256–1266
- [19] Kanter J, Khan S Y, Kelher M, et al. Oncogenic and angiogenic growth factors accumulate during routine storage of apheresis platelet concentrates. *Clin Cancer Res*, 2008, **14**(12): 3942–3947
- [20] Duan C, Li M, Rui L. SH2-B promotes insulin receptor substrate 1 (IRS1)- and IRS2-mediated activation of the phosphatidylinositol 3-kinase pathway in response to leptin. *J Biol Chem*, 2004, **279**(42): 43684–43691

Effect of Fresh Frozen Plasma on Endothelial Cell Migration Diminishes During Storage and Its Molecular Mechanisms^{*}

ZHANG Chun-Fang^{1)**}, TAN Tan^{1,3)**}, LI Jian-Guo^{1),} MA Hong-Ying¹⁾, CHEN Zhu-Chu¹⁾, DUAN Chao-Jun^{1,2)***}

(¹) Key Laboratory of Cancer Proteomics of Chinese Ministry of Health, Xiangya School of Medicine,

Central South University, Changsha 410008, China;

(²) Medical Research Center, Xiangya Hospital, Central South University, Changsha 410008, China;

(³) Department of Clinical Laboratory, The First People's Hospital of Chenzhou, Chenzhou 432000, China)

Abstract To determine whether TGF- β s and the effect on endothelial cell migration were altered during fresh frozen plasma (FFP) refrigeration, ELISA assay was carried out to quantify TGF- β s protein levels in FFP stored at 4 °C for up to 5 days. Human pulmonary microvascular endothelial cells (HPMECs) were treated with various concentrations of Day 0 and Day 5 FFPs or 10% Lactated Ringer's (LR) and were subjected to migration assay or Western blot analysis. ALK5 siRNA or ALK5 inhibitor were used to block FFP-induced Smad3 signaling in EC cells. It was found that TGF- β 1 protein levels increased in a time-dependent fashion at a rate of 244.31 ng/(L·d) ($P < 0.05$) and greater activation of its downstream mediators Smad2/3 during storage of FFP ($P < 0.05$). Both Day 0 FFP and Day 5 FFP stimulated EC migration *in vitro*; however, the effect of Day 5 FFP was significantly reduced. Inhibition of TGF- β type I receptor blocked FFP-induced Smad3 signaling in EC cells and restored the effectiveness of Day 5 FFP on EC migration to a comparable level as Day 0 FFP. These data suggest that the increased TGF- β levels during FFP storage contributes to the deterioration of stored FFP's effects on EC migration. A novel molecular mechanism contributing to the reduced efficacy of stored FFP was identified.

Key words storage, fresh frozen plasma, migration, TGF- β /ALK5/Smad2/3

DOI: 10.3724/SP.J.1206.2010.00596

*This work was supported by grants from National Basic Research Program of China (2001CB5102) and The National Natural Science Foundation of China (30670990, 30871189).

**These authors contributed equally to this work.

***Corresponding author.

Tel: 86-731-84327239, Fax: 86-731-84327332, E-mail: duancjxy@126.com

Received: November 18, 2010 Accepted: April 6, 2011